グリーン関数法を用いた有明海における視線方向のM2分潮流速の物理的内挿

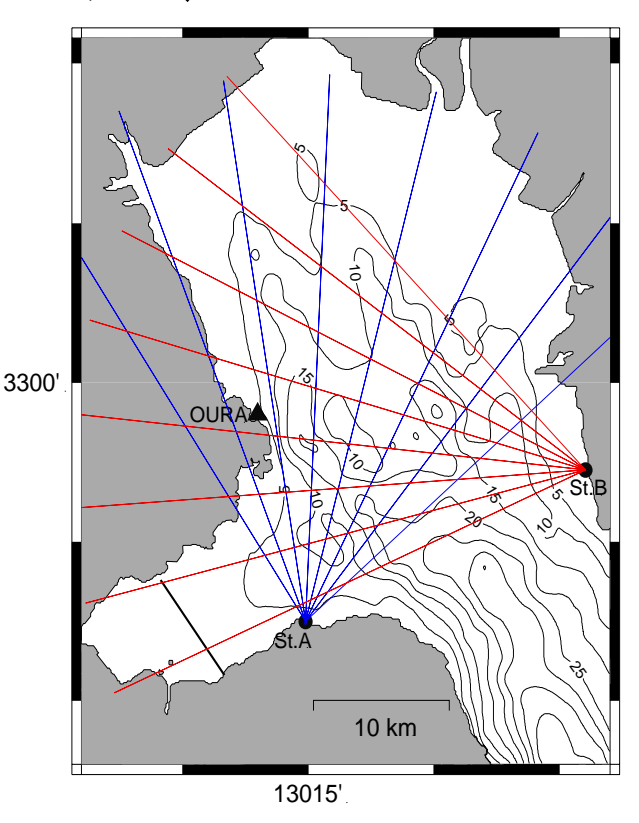
一財)電力中央研究所 坪野考樹,三角和弘,津旨大輔,坂 井伸一

目次

- 背景
- 解析法など(観測, モデル, Green func)
- 結果
 - -RMS
 - 内挿
- まとめ
- 反省点
 - 解像度と18.6年

背景1(海洋レーダ)

- ・海洋レーダの特徴(時間・空間的に詳細データ)
- 有明海諫早湾口前面,長崎 大学と共同で観測(07年)
- ・ 諫早湾口近傍の有明海の半 日周潮について検討(08年)





背景2(レーダ結果の同化)

レーダは視線流速,

- 2方向必用.(重なった領域)
- 重ならない1方向は捨てる?
- ない所は分からない。

データ同化の前、最も尤もらしい計算が望ましい.

- 視線方向流速の精度の比
- モデルのパラメータ.

M2分潮卓越(湾内)

- 外力が分かりやすい。
- 調和解析は平均操作(観測結果のノイズを少なく出来る)

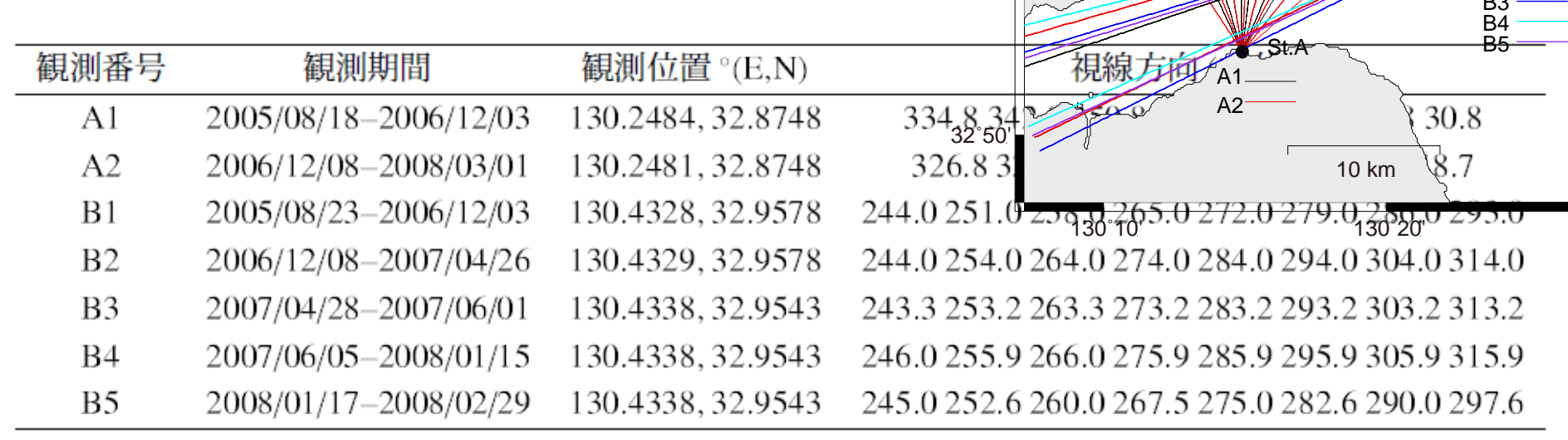
グリーン関数で視線流速M2成分を制約条件として、2次元モデル(ROMS)のパラメータを推定

• 物理的内插.

観測結果処理

レーダの位置と格子質

- 観測2005-2008
- · 30分間隔、500m
- レーダの位置・向きが異なる。
- · 視線流速を4分潮 (M2, S2, K1, O1)
- · 3点の水位(三角,大浦,口之 津)



33°00'

数値モデル(ROMS) -20 33°N 32°50'N 2次元モデル(Wet & Dry) *40'N -60• 計算領域(GEBCO) 32°30'N • 格子間隔(1/60,1/120,1/240)。

- 開境界(M2分潮) TPXO6.2(Egbertら, 02) (1/4から内挿)
- 初期0から45日計算:最後の15日調和分解(8 0%Wetな場所)=>潮位+視線方向分潮

Green Function's approach1 (Menemenlis 605)

目的関数

$$J = \frac{1}{2} (\mathbf{M}(\mathbf{x}) - \mathbf{y})' \mathbf{R}^{-1} (\mathbf{M}(\mathbf{x}) - \mathbf{y}) \qquad (3) \qquad \frac{dJ}{d\mathbf{x}} = \left(\frac{d\mathbf{M}}{d\mathbf{x}}\right)' \mathbf{R}^{-1} (\mathbf{M}(\mathbf{x}) - \mathbf{y}) \qquad (4)$$

M(x) 制御変数から出力(観測と同じ)への関数

R 観測結果の重み(精度などによる)

$$\frac{dM(\mathbf{x}_0)}{dx^j} \cong \frac{M(\mathbf{x}_0 + a^j \mathbf{e}^j) - M(\mathbf{x}_0)}{a^j} = \frac{\delta M(\mathbf{x}_0)}{\delta x^j}$$
(5)
$$\mathbf{M}(\mathbf{x}_0 + \mathbf{x}) \cong \mathbf{M}(\mathbf{x}_0) + \left(\frac{d\mathbf{M}(\mathbf{x}_0)}{d\mathbf{x}}\right)\mathbf{x}$$
(6)

最適化問題(停留値問題)

をそのまま解くと、

$$\frac{dJ}{d\mathbf{x}} = 0$$

$$\mathbf{x} = -\left(\left(\frac{d\mathbf{M}(\mathbf{x}_0)}{d\mathbf{x}}\right)'\mathbf{R}^{-1}\left(\frac{d\mathbf{M}(\mathbf{x}_0)}{d\mathbf{x}}\right)\right)^{-1} \cdot \left(\frac{d\mathbf{M}(\mathbf{x}_0)}{d\mathbf{x}}\right)'\mathbf{R}^{-1}(\mathbf{M}(\mathbf{x}_o) - \mathbf{y})$$
(8)

$$\hat{\mathbf{x}}_0 = \mathbf{x}_0 + \mathbf{x} \qquad (9) \qquad \qquad \mathbf{x}_0^{l+1} = \mathbf{x}_0^l + \mathbf{x}^l \quad (10)$$

計算x=(td_mag,td_phase, Vsc, C d)

- 外力である境界条件の潮位・潮流の大きさ td_mag, 潮位と潮流の位相差td_phase, 粘性係 数Vscおよび海底面の抗力係数C_d
- R_対角=(1:視線流速, 100:水位, 1000:x) =>理由 数の比が(100, 3, 1)
- $X_{\overline{0}}$ $= (1., 0., 5m^2s^{-1}, 3.0 \times 10^{-3})$

$$Cd \times u\sqrt{u^2 + v^2}$$

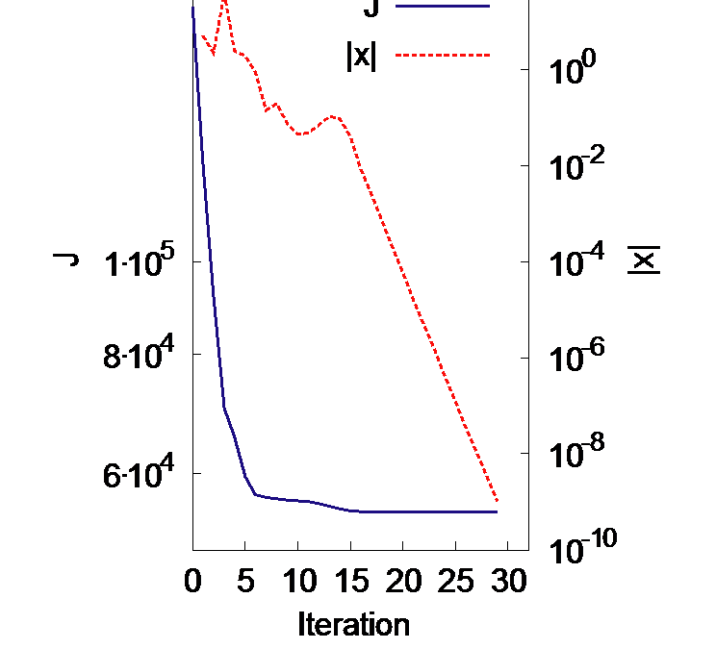
$$J = \frac{1}{2} [M(\mathbf{x}) - \mathbf{y}]^{T} \mathbf{R}^{-1} [M(\mathbf{x}) - \mathbf{y}]$$

Green Function's approach2(杉 浦ら06)

- 1) 制御変数(解きたい変数)をある値にする.
- 2) 最小二乗法で観測結果と数値結果を比較:目的関数
- 3) Grenn関数法で制御変数の勾配と長さを計算する.
- 4) 勾配と長さの内積を制御変数に足す. 2:105
- 5) 停留するまで計算を繰り返す.

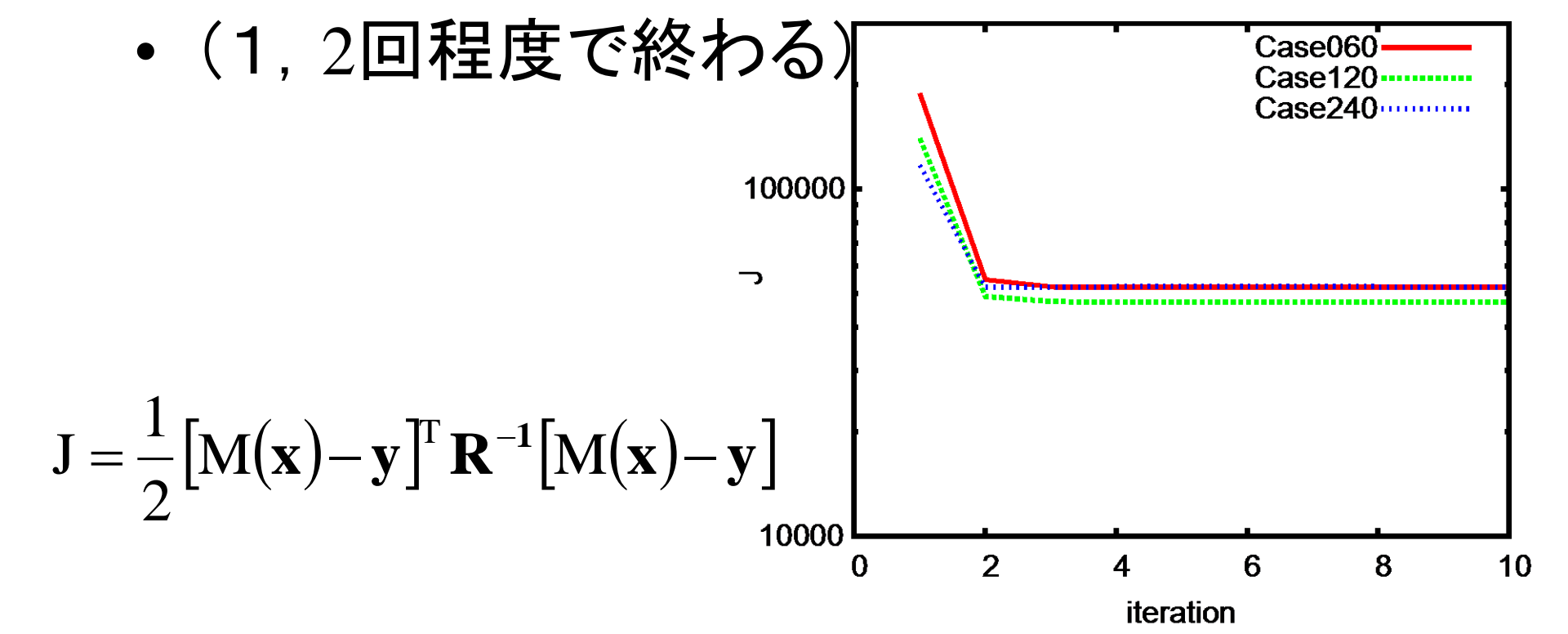
最終的に得られる値;

開境界の潮汐,水平粘性,抗力係数



反復回数とJ

- 10回反復
- ・解像度に寄らず、4回程度で同程度の値



誤差と推定されたx

- 視線流速と水位のバランスが調整された.
- TPXO06の大きさ、位相はいじらなくてもよい.
- 外力とバランスする抗力は一定(解像度に依存しない)
- 粘性係数は 10~50m²s⁻¹程度

RMSE (視線流速, 水位)

	初期値		最終結果	
	視線流速 水位		視線流速	水位
	${\rm cm}~{\rm s}^{-1}$	cm	${\rm cm}~{\rm s}^{-1}$	cm
Case060	4.4	8.5	4.5	1.3
Case120	4.3	6.8	4.1	1.0
Case240	4.5	5.6	4.3	1.1

*	7
	ĸ
1	7

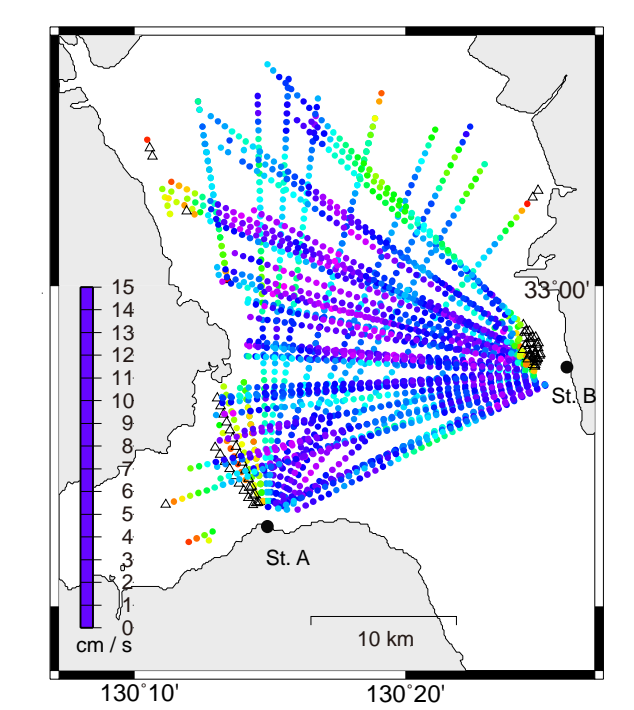
		$td_{phase}/^{\circ}$	$Vsc/~{\rm m}^2~{\rm s}^{-1}$	$R_{drg}/10^{-3}$
Case060	1.04	0.10	43	1.7
Case120	1.04	1.40	8	1.8
Case060 Case120 Case240	1.01	0.03	28	1.8

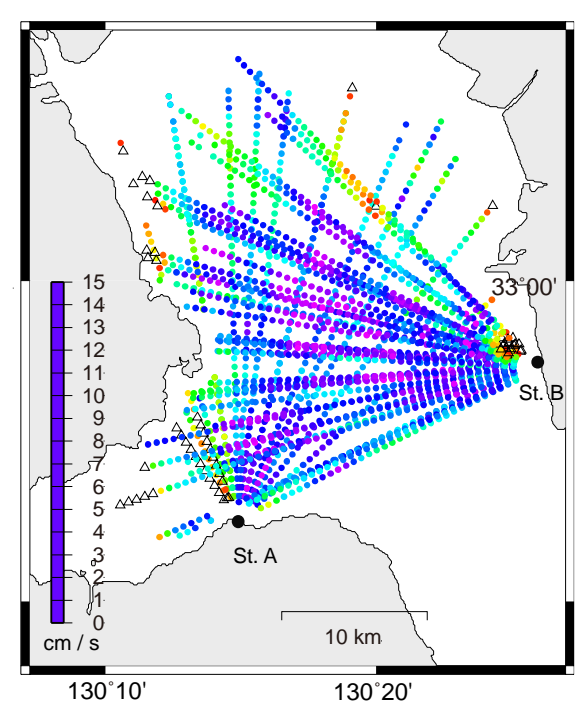
RMSE(視線流速:5cm s⁻¹)

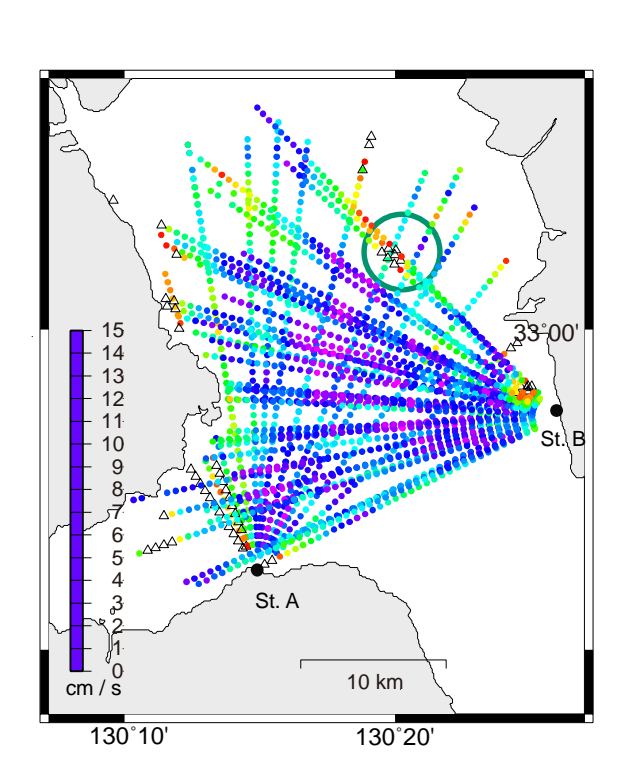


解像度

低

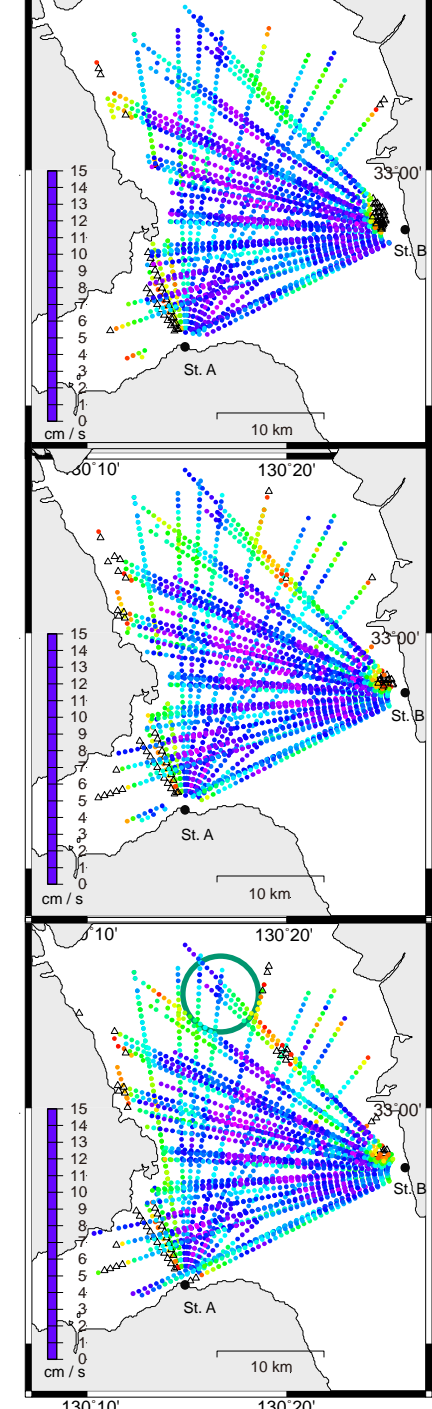






RMSE(視線流速:5cm s⁻¹)

- 重ならない領域も使える!
- 湾中央部では, 2cm s⁻¹
- ・ 局に近い領域は、大きくなる(解像度)^解像度、方部の原本では、小山は地形は、度
- 緑〇:高解像度では, 小山(地形性).
- 諫早湾のSt.Aは, 15cm s⁻¹以上
- ・諫早湾の湾口も少し悪い(地形性)
- 同化ではこの比は使える可能性が高

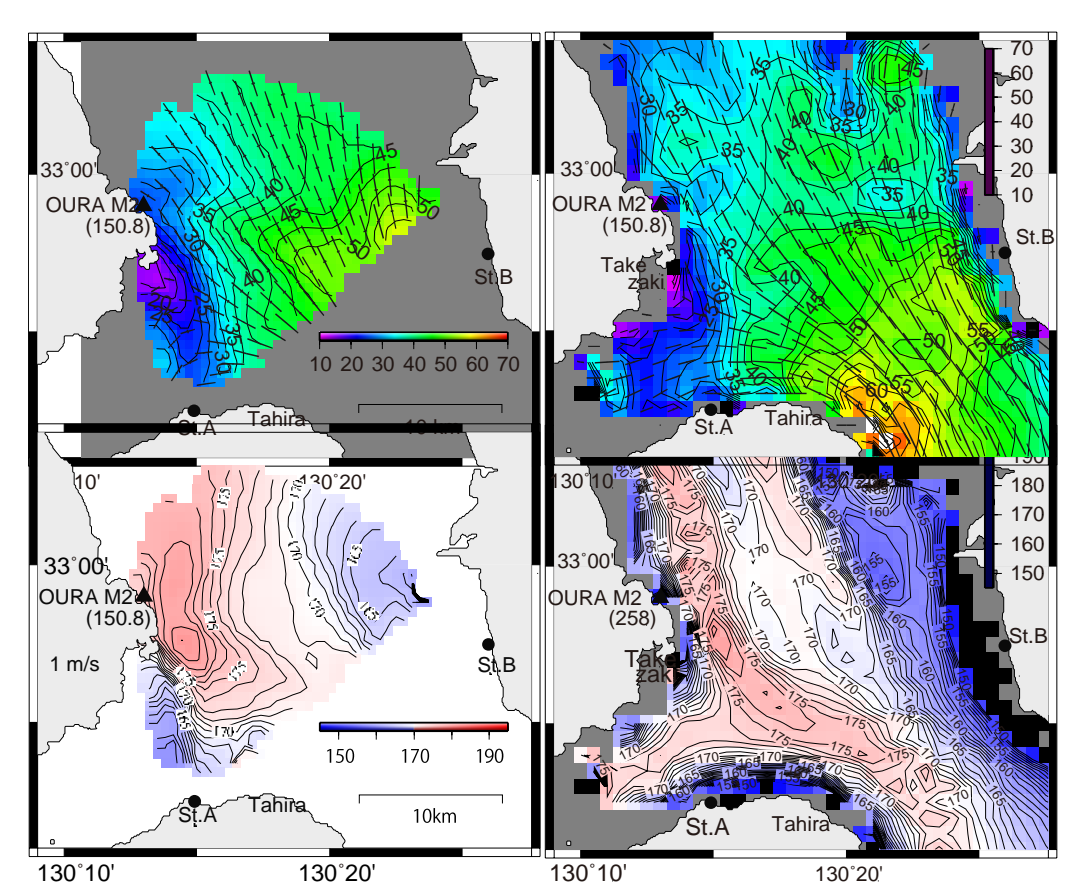


言

低

物理的内挿(潮流楕円長軸)

- ・ 重なる領域のみから、全体へ.
- ・ 長軸の大きさ: 東側が大きい
- 位相:
- 90度潮位より早い, 東側で早く到達

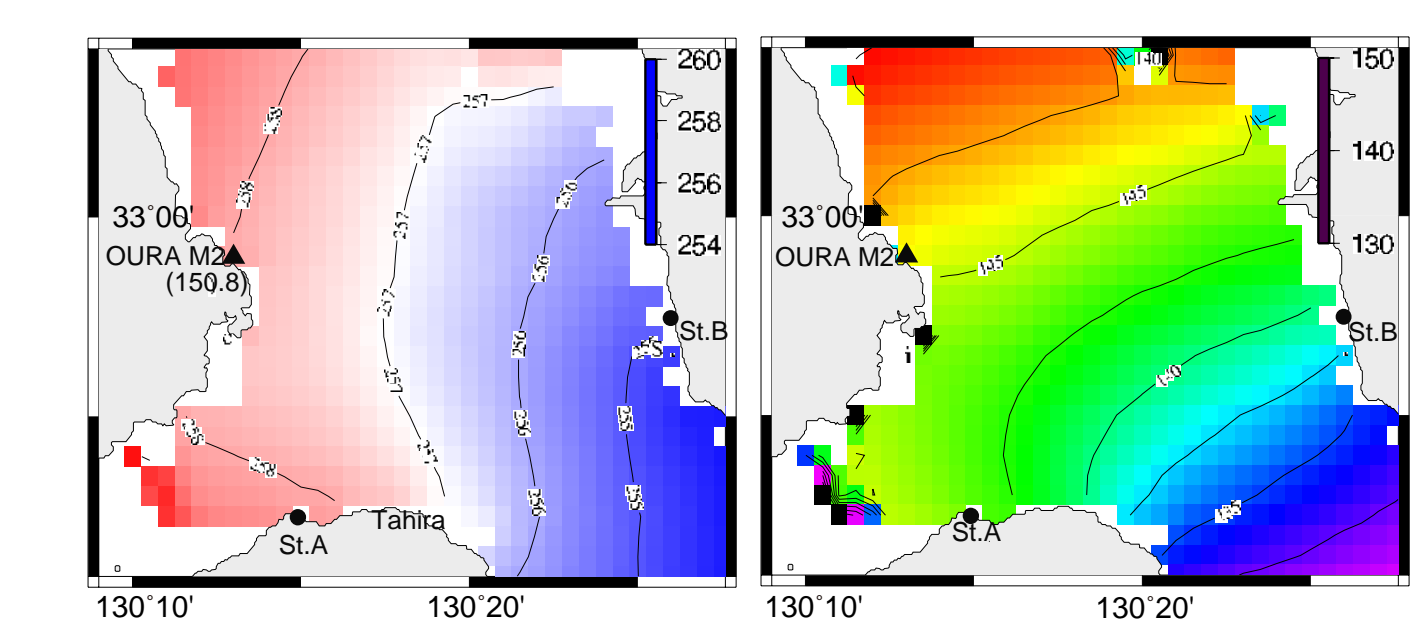


物理的内挿(潮流楕円長軸)

・流速から水位の情報

・ 潮位: 湾口で大きい

・ 位相: 東側で早い

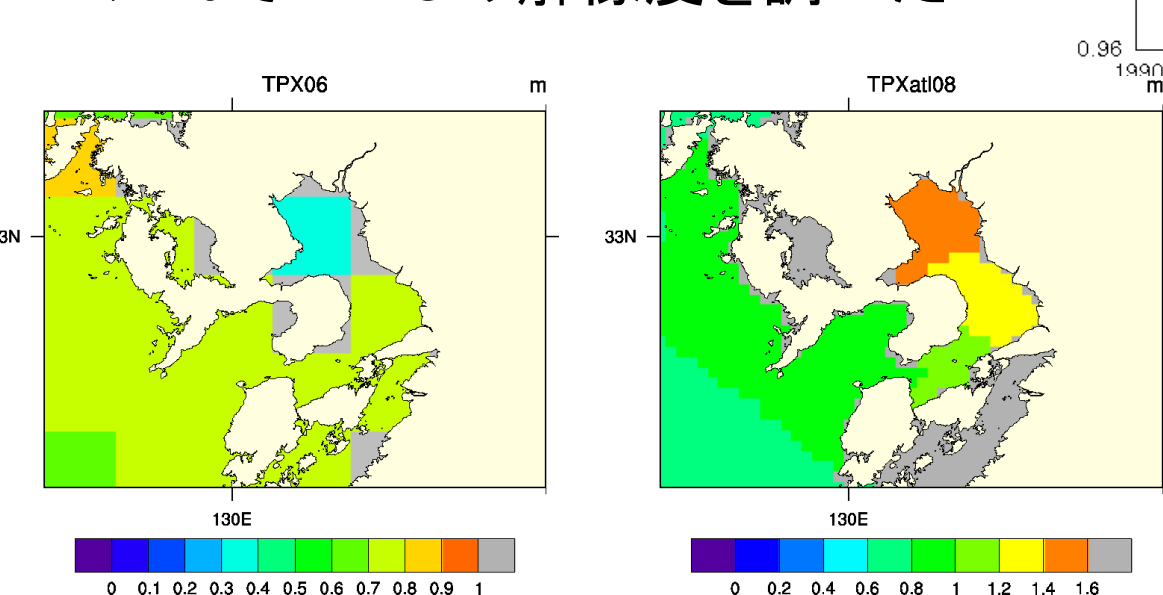


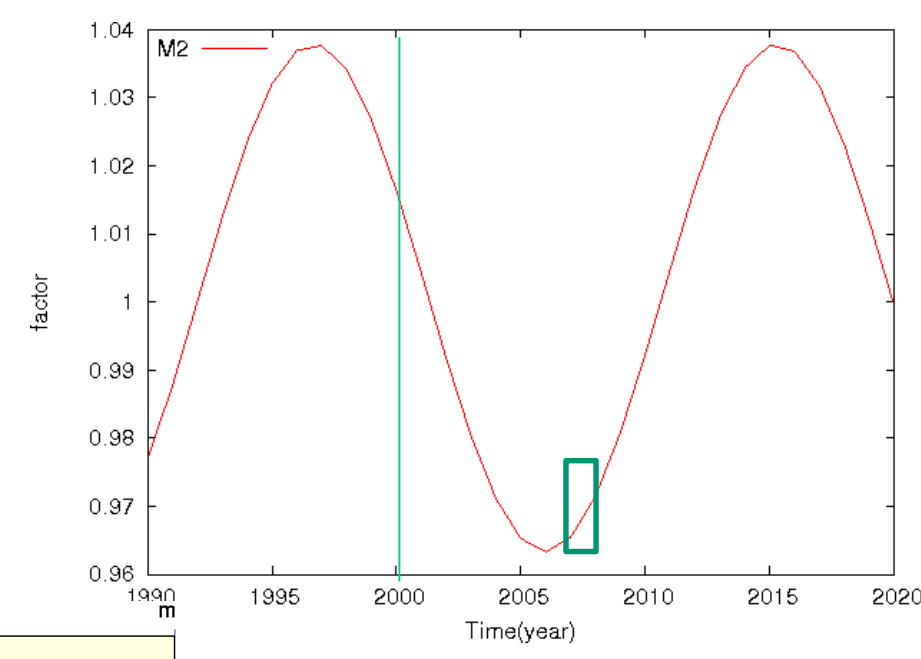
まとめ

- 1) 視線流速と潮位のM2分潮を拘束条件で、外力と物理パラメータを推定
 - → (RADA Data => Green Function's => ROMS)
- 2) 外力と潮位・潮流
 - → 抗力で潮位と潮流の位相差が.
- 3)誤差情報
 - → 重ならない領域も積極的に使えそう.
 - → 今後のデータ同化で使える.
 - → 湾口や小山付近は、3Dモデルで少し検証が必要か、
 - → M2(潮汐)は分かりやすい故, 誤差の比が見やすいかも(湾).
- 3)物理的内插
 - → 重ならない領域も見える.
 - → K1について同様の解析=>日周潮の時計回りの応答を見たい.

反省点(解像度と18.6years)

- 解像度:
 - TPXO06は, 1/4度
 - TPXOA30 は, 1/30度
- 18.6years
 - (2000年の内挿)
- 1/120でTPXOの解像度を調べた





反省: TPXO06と08atl30

	初期值		最終結果	
	視線流速	水位	視線流速	水位
	${ m cm~s^{-1}}$	cm	${ m cm~s^{-1}}$	cm
TPX06	4.3	6.8	4.1	1.0
TPX08atl	-	-	3.8	1.0

- RMSは変わらない.
- ・ 底面の変数も変わらない.
- TPX06は小さめ、TPX08は大きめ (2007年は2000年の0.96倍)

			$Vsc/~\mathrm{m^2~s^{-1}}$	$R_{drg}/10^{-3}$
TPX06	1.04	1.40	8	1.8
TPX08atl	0.78	0.98	13	1.8

